

(60) 花崗岩の異方性が力学的性質に及ぼす影響

徳山高専
徳山高専
山口大学工学部

工藤洋三
橋本堅一
中川浩二

1. まえがき

一般的に等方性材料として扱われている花崗岩にも異方性が存在することは以前から知られており、その異方は花崗岩造岩鉱物内の潜在クラックの方向性に依存するとされているようである。すなわち古くは Osborne (1935)¹⁾により花崗岩の圧縮強度の異方性が指摘されており、この異方性を潜在クラックの配向性から説明している。さらに McWilliams(1966)²⁾は Salisbury 花崗岩を用いて P 波の伝播速度と圧裂面の方位角を変化させた圧裂試験を行っており、P 波の伝播速度と圧裂引張強度の間に相関が存在すること、それらの値が極端となる面に point load test による選択的な破壊面が形成されることを述べている。Douglass³⁾ 及び Peng(1972)⁴⁾ は潜在クラックが卓越して配向する面と正確に考慮して花崗岩の変形挙動を追跡しており、変形挙動に非線形性と異方性をもたらす原因を潜在クラックの選択的配向面の存在に求めている。なかでも Peng は grain plane および hardway plane での圧裂強度の異方性を比較的細かい角度で測定している。この Chelmsford 花崗岩での測定によれば、hardway plane 内で 28.9%，grain plane 内で 41% の異方性が存在することが示されている。また佐野ら(1982)⁵⁾は一軸圧縮試験時の花崗岩の破壊挙動にもこの選択的に配向した潜在クラックが大きな役割を果たすことを明らかにしている。これらの研究により、花崗岩の力学的性質に異方性をもたらす主な原因が潜在クラックの選択的配向性によるることは明らかである。しかししながら、たとえばこれまで報告されている花崗岩の圧裂試験結果は実験精度の記述に欠けるもので、潜在クラックの選択的配向面内とこれに直交する他の面内との系統的な測定を欠いているものが多い。また圧縮強度及び引張強度などの異方性の長方形花崗岩鉱物の種類を組成、粒径を過去の応力場の影響をうけて変化するものと考えられる。したがって岩盤力学的な立場からこの花崗岩の異方性という問題を考える場合に重要なことは、潜在クラックの方向や密度と圧縮強度及び引張強度などの力学的性質の間にどのような相関があるかを知ることであろう。筆者らは現在花崗岩の潜在クラックの異方性が一軸圧縮強度及び引張強度の異方性に与える影響について研究を進めているが、本研究ではまず比較的潜在クラックの選択的配向性が顕著な花崗岩について圧裂試験を行い、引張強度の異方性について検討する。さらに潜在クラックの異方性を表す量として比較的計測が容易な P 波の伝播速度の異方性 ($(V_{p\max} - V_{p\min}) / V_{p\max} \times 100$) を用い、これと圧裂強度および引張強度の異方性との関係について検討を加える。なお以下の文中においては、石材加工の際に最もわれやすい面を R 面 (rift plane)，2 種目にわれやすい面を G 面 (grain plane)，両者に直交する面を H 面 (hardway plane) とし、これらの面に垂直な軸をそれぞれ R 軸、G 軸、H 軸と略記する。したがって R 面内の P 波の速度といふ場合は R 面に平行に伝播する供試体に関するものであり、R 面内の圧裂試験といふ場合は圧裂面が常に R 面に對して垂直な供試体に関するものである。

2. 異方性岩石の圧裂試験における問題点

岩石やコンクリートなどの引張強度を求める方法として、供試体作製の容易さで試験の簡便さから圧裂試験による方法が多く用いられているが、異方性岩石の圧裂試験を行おうとする場合、等方性材料の場合には存在しない異方性岩石固有の問題が生じてくる。一つは潜在クラックの選択的配向面の影響下で、圧裂強度と一軸引張強度が一致するかどうかといふ問題である。Hawks⁶⁾ は Barre 花崗岩を含む数種の岩石について圧裂試験を行い両者がよく一致することを明らかにしており、彼らの主張は ISRM 指針に全面的にとり入れられている。しかし花崗岩の潜在クラックの配向面に関する記述は直接には見当らない。すなわち任意の方向のコアサ

ニアルから同様の結果が得られるかについては明らかでない。

いま一つの問題は、異方性岩石の引張強度が、等方性材料を仮定して得られた圧裂強度の慣用式 ($\sigma_t = 2P/\pi d l$ (σ_t : 引張強度, P : 破壊荷重, d : 供試体直径, l : 供試体長さ)) によって正しく表現されるかどうかという問題である。Amadeiら(1983)⁷⁾は積層異方性材料を想定して圧裂試験時の引張強度を解析的に求め、真の圧裂強度は慣用強度に応力集中係数 (α) を乗じた値 ($\sigma_t = \alpha (2P/\pi d l)$) によることを明らかにしている。同様の考え方から金子⁸⁾は圧裂試験のFEM解析を行い、慣用式による強度を修正している。

筆者らは現在、潜在クラックの配向面を考慮した一軸引張試験により圧裂強度と一軸引張強度との関係を明らかにすることを試行しているが、本研究では圧裂強度と一軸強度が一致するという前提で議論を進める。また後者の問題点については、潜在クラックの影響下での圧裂試験時の材料特性が十分には明らかにされてないため強度計算には慣用式を用いている。

3. 実験方法

実験に用いた供試体は山口県徳山市黒髪島産の花崗岩で、原材料寸法は約 $1\text{m} \times 1\text{m} \times 1.5\text{m}$ である。これから圧縮強度試験用の供試体を使用するために、潜在クラックの配向面を考慮して直徑 50cm 、高さ 22cm の円柱形状に加工し、これよりコアボーリングを行って圧裂試験用供試体を作成した(写真1)。供試体直徑は 43.4mm 、長さは $32\text{mm} \pm 3\text{mm}$ で供試体の端面は平整してある。

P波の伝播速度は、固有振動数 1MHz の压電素子(PZT-7)を用いて圧裂試験用供試体の直徑方向に 200kHz の矩形パルスを入射し、P波が伝播する時間間隔をトランジエントレコーダーに書きこむことにより求めた。サンプリング間隔は 50ns で増幅器は $0.1\sim2\text{MHz}$ を 60dB で増幅可能である。潜在クラックの配向面からの角度の変化による引張強度の変動を見るためそれぞれの面内で半円周を12分割して引張強度を求めるものとし、それぞれの角度について供試体を2個ずつ準備した。P波の伝播速度と圧裂強度の相関をみるため角度については図-2に示すような表記法を用いている。

圧裂試験装置の概略を図-1に示す。載荷軸と圧裂面が同一平面内に入るよう改良を加えたもので、本実験に先立って行われた同一ノアラ作成された供試体(圧裂面がH面で裏面が水平面内にある)6個について得られた圧裂強度の変動係数は 3.0% である。載荷速度は約 $0.5\text{t}/\text{cm}^2/\text{sec}$ である。

4. 実験結果および考察

実験によって得られたP波の伝播速度および圧裂強度とそれぞれの面の角度との関係を図-3および図-4に示す。P波の伝播速度は、24個の供試体の中から任意に選ばれた供試体3個についてその円周方向に測定され

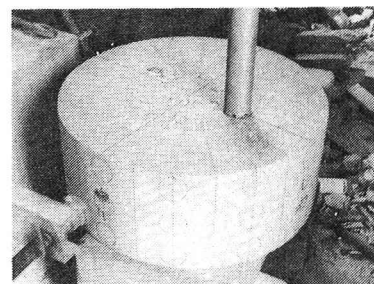


写真1 圧裂用供試体のコアボーリング

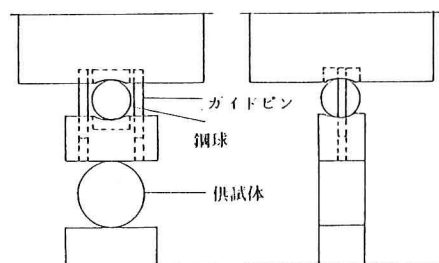


図1 圧裂試験装置

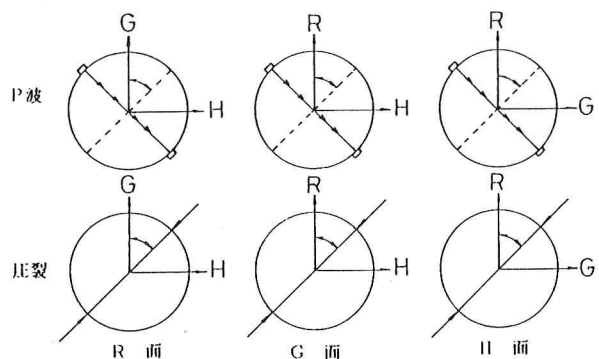


図2 方位角の表記法

たものである。これによれば、いずれの面内でも同一の方位角に対してもほぼ一致した傾向を示しているが、若干の変動も認められる。図より明らかのようにG面内およびH面内の伝播速度に著しい異方性が認められ、それぞれの面内のR面に垂直に伝播する弾性波速度が最小値となっている。R面内の伝播速度には他の面ほどの異方性が認められない。また若干の差異はあるがG面に垂直に伝播するP波の速度はH面に垂直に伝播するそれよりも小さい。このことから、R面が潜在クラックの顯著な選択的配向面で、G面は潜在クラックの選択的配向面ではあるがその力学的特性はH面に近いものと考えられる。

R面、G面、H面に関する圧裂強度は、R面が最も弱く、次にわずかの違いながらG面、H面の順となり、石工職人の経験則とよく一致している。圧裂強度の最大値はH面の強度よりもさうに大きくなり、両者の強度比は1.47となる。ここにP波と圧裂強度の異方性を表わす量をそれぞれ $(V_{pmax} - V_{pmin}) / V_{pmax}$ ($\alpha_{pmax} - \alpha_{pmin} / \alpha_{pmax}$)と定義してそれを各面内でのP波の伝播速度と圧裂強度の最大値、最小値、平均値、異方性を表-1に示す。図-3からも明らかのように圧裂強度の異方性はG面、H面で著しく大きくP波の伝播速度の傾向と一緒に一致している。さらに各面内での圧裂強度の平均値は、R面、G面、H面の順に大きい。すなわちR面内の場合は、G面の外が垂直面に存在するため相対的に強度が大きくなり、H面内の場合はR面とG面が存在するため相対的な強度低下がみられるものと考えられ、花崗岩の強度特性に潜在クラックの選択的配向面の存

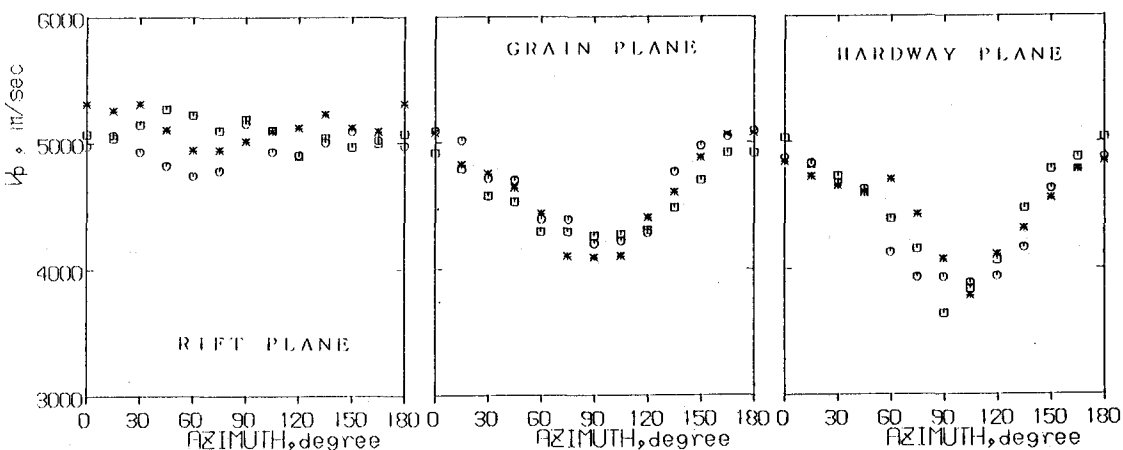


図-3 R, G, H面内のP波の伝播速度

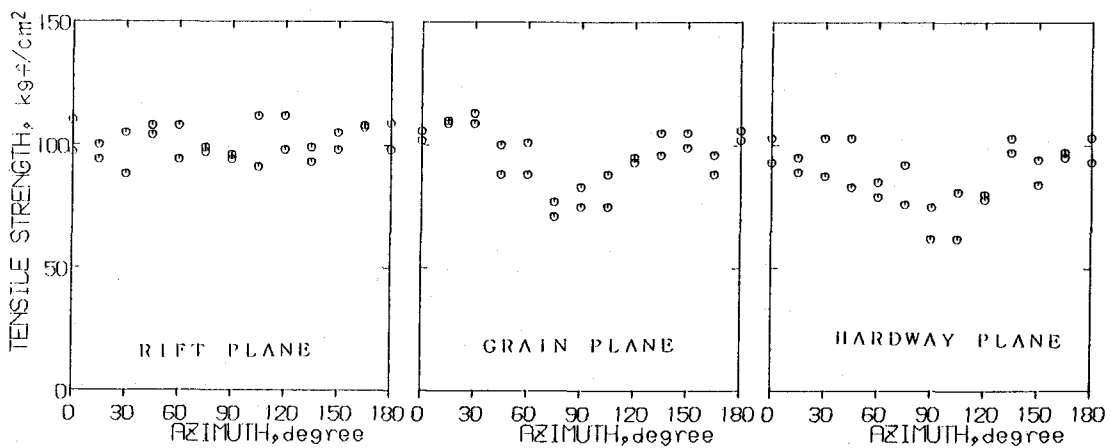


図-4 R, G, H面内の圧裂強度

	$V_{p\max}$ (m/sec)	$V_{p\min}$ (m/sec)	$V_{p\text{ave}}$ (m/sec)	$\frac{V_{p\max} - V_{p\min}}{V_{p\max}} \times 100$	$\sigma_{t\max}$ (kg/cm ²)	$\sigma_{t\min}$ (kg/cm ²)	$\sigma_{t\text{ave}}$ (kg/cm ²)	$\frac{\sigma_{t\max} - \sigma_{t\min}}{\sigma_{t\max}} \times 100$
R	5128	4986	5055	2.7	108.1	94.9	100.8	12.2
G	5076	4094	4588	19.3	111.2	74.1	94.7	33.4
H	4955	3789	4410	23.5	100.3	68.9	87.3	31.3

表1 R, G, H面内の弾性波速度と圧裂強度の異方性

在が深くかかわっていることが認められる。表-1から、全ての面内での圧裂強度の異方性を求めてみると38.0%となり、同じ材料について任意の方向から板がれた供試本について実験を行った場合、最大40%近い強度の変動を覚悟しなければならないことになる。しがもこの異方性の程度は本研究で用いた材料に固有のもので、産地や採石場が変わればかなり異なることが予想される。一般に全ての花崗岩について本研究を行なうことを実験を行うことは不可能であり、実用上の立場からすれば、より簡便な強度特性の推定法が要望される。そこで、P波の伝播速度と圧裂強度の間に存在する相関を調べるために、図-5に両者の関係を示す。

さうに両者の間の相関係数を求めるところ1.81となり、かなり高い正の相関があることがわかる。表-1のそれがれの量の異方性の程度が最も同様の傾向が認められる。このことは、P波速度の異方性を知ることによって、圧裂強度の異方性を推測することができる程度可能であることを示唆している。たとえば、G面内のP波の伝播速度の異方性と、相的的に高めの強度を与えると考へられるH面の圧裂強度から、圧裂強度の最大値、最小値、平均値などを予測することが可能であると考えられる。

5. 結論とがき

以上述べてきたように従来異方性といつて假定のもとに扱かれることが多い花崗岩について、潜在クラックの選択的配向面を考慮して、P波の伝播速度および圧裂強度を測定してきた。その結果、潜在クラックの選択的配向面の存在によって圧裂強度とP波の伝播速度に著しい異方性が存在することが明るくなれた。またP波速度の異方性と圧裂強度の大小の間にはかなりの相関があることが予想され、今後はこの点について研究を進めていく予定である。

謝辞

本研究を進めるにあたり、黒巣石材(株)には原石の提供と円盤状への整形をお願いした。また徳山高車平研生伊多村智則、藤井政義の両君には端面整形の際、手伝っていただきいた。記して謝意を表する。

(参考文献)

- Osborne F. F., Quebec Econ. Geol., 30, pp. 540-551 (1935).
- McWilliams J. R., Am. Soc. Test. Mat., STP402, pp. 175-189 (1966).
- Douglas P. M. and Voight J., Geotechnique, 19, 376-398 (1969).
- Peng S. S. and Johnson A. M., Int. J. Rock Mech. Min. Sci., 9, (1972).
- 佐野修、水田廣明、岩本健、地質学会秋季大会 C21, pp. 185 (1982).
- Mellor M. and Hawkes I., Engng. Geol., 5, pp. 173-225 (1971).
- Amadei B., Rogers J. D. and Goodman R. E., ISRM, pp. 189-196 (1983).
- 金子勝比古, private communication

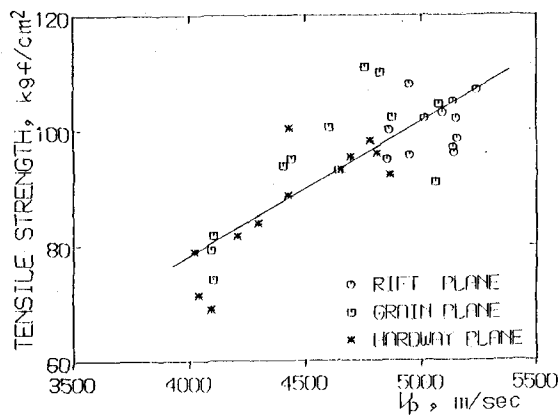


図5 P波の伝播速度と圧裂強度の相関

(60) Tensile Strength Anisotropy of Granite

Yozo KUDO, Ken-ichi HASHIMOTO*

Koji NAKAGAWA**

Granite contains numerous preexisting cracks which are preferentially oriented along three mutually perpendicular planes. These planes are called as rift, grain and hardway plane in order of ease of splitting. The cracks significantly affect the mechanical property of granite. In this study we wish to report tensile strength anisotropy of granite and the correlation among the compressive wave velocity anisotropy and the tensile strength.

Kurokami granite was chosen for this test. Oriented drill cores were cut in three mutually perpendicular directions from large block of granite and the cores were cut into disks. Compressive wave velocity and tensile strength were measured for diametric direction at 15° intervals, from 0° to 180°. Anisotropy of compressive wave velocity is greater in the grain and hardway planes than in the rift plane.

Tensile strength anisotropy $(\sigma_{tmax} - \sigma_{tmin}) / \sigma_{tmax}$ ranged from 12% to 33% in each planes. Therefore if we wish to examine the tensile strength of same block from the cores drilled arbitrary directions, we must consider same degree of change. There was a strong correlation among the anisotropy of compressive wave velocity and the tensile strength anisotropy.

* Tokuyama Technical College

** Yamaguchi University